

Experimento 3

Introdução

O movimento ondulatório consiste em um pulso de onda que se propaga por um meio, elas não transportam matéria apenas energia. Em uma dada corda, quando fixada pelas duas extremidades e excitada em um certo ponto ocorre um movimento harmônico simples de pequena amplitude de a qual as vibrações ocorrem em certa frequência, sendo ondas periódicas. A frequência das ondas está relacionada a ressonância, esse fenômeno acontece quando um sistema recebe energia por meio de excitações de frequência igual a uma de suas frequências naturais de vibração.

A frequência está relacionada com o comprimento da onda, sendo $f = \frac{v}{\lambda}$ em que v representa a velocidade da propagação, λ o comprimento da onda e f a frequência.

Metodologia

Os materiais utilizados no experimento foram um medidor de frequência, três fios de diferentes densidades, uma trema, balança, um suporte com solda, diferentes massas e um vibrador com

frequência variável.

No parte experimental, a corda e o vibrador foram fixados no suporte sobre a bancada, o fio mais grosso foi amarrado no vibrador e passado pela corda de uma maneira que o comprimento (L) ficasse 1,5 m e o vibrador ajustado para 32 Hz. Após foi determinado os valores da massa (m) para se obter ondas estacionárias com 2 a 6 nós. Em seguida o comprimento da corda mudou para a determinação de novos dados, em que as ondas estacionárias continham 3 nós.

Os passos anteriores foram repetidos para os outros dois fios com espessuras diferentes. Foi determinado o valor de μ de cada fio.

Análise de dados

As univoltas das medidas estão na Tabela 1. Com a última parte do experimento; foi possível calcular a densidade linear dos fios utilizados sendo utilizado para o cálculo a definição $\mu = \frac{m}{l}$

em que μ = densidade linear, m = massa, l = comprimento do fio.

Substituindo pelos valores encontrados no experimento, que está na Tabela 3 em anexo:

$$\mu_1 = 0,6011 \text{ g/m}$$

$$\mu_2 = 0,3580 \text{ g/m}$$

$$\mu_3 = 0,2076 \text{ g/m}$$

Já os gráficos referentes aos fios 1, 2 e 3 estão em anexo e os dados distribuidos na Tabela 2.

Para calcular o α , a partir da equação (1)

$$\frac{mg}{(p-1)^x} = \frac{4\mu l^n f^2}{g} \Rightarrow mg = \frac{4\mu l^n f^2}{(p-1)^x} \cdot g \Rightarrow$$

$$\Rightarrow \log m = \log(p-1)^{-x} + \log \left(\frac{4\mu l^n f^2}{g} \right) \Rightarrow$$

$$\Rightarrow \log m = -x \log(p-1) + \log \left(\frac{4\mu l^n f^2}{g} \right) \quad (2)$$

Assim, o coeficiente angular dos gráficos é igual a $-x$. Considerando os valores:

$$x_1 = 2,0262$$

$$x_2 = 2,0269$$

$$x_3 = 2,0365$$

O gráfico referente ao item B no anexo está em anexo, e os dados distribuídos na Tabela 3.

Deduzindo a equação (a):

$$mg = \frac{4\mu l^n f^2}{(\rho-1)^n} \Rightarrow m = \frac{4\mu l^n f^2}{(\rho-1)^n g} \Rightarrow$$

$$\log m = \log l^n + \log \left(\frac{4\mu f^2}{(\rho-1)^n g} \right) \Rightarrow$$

$$\Rightarrow \log m = n \log l + \log \left(\frac{4\mu f^2}{(\rho-1)^n g} \right)$$

Aíssim os valores do exponente n:

$$n_1 = 1,9916$$

$$n_2 = 2,2874$$

$$n_3 = 2,5520$$

Comparando os valores de \bar{n} e m encontrados, se tem que $\bar{n} = 2,0231$ e $\bar{m} = 2,2770$. Constatata-se então que os coeficientes n e m têm uma influência quadrática, pois não são próximos de 2, de $(\rho-1)$ e f no cálculo da força.

Com base nos gráficos di-log referente ao item A de noturno, observa-se que o coeficiente linear das retas é igual a $\log\left(\frac{4\mu L^2 f^2}{g}\right)$

E utilizando a densidade linear calculada para o fio 1 ($\mu_1 = 0,6011 \text{ g/m}$), pode-se calcular a frequência do vibrador:

$$\text{utilizando } g = 9,8 \text{ m/s}^2$$

$$\mu_1 = 0,6011 \text{ g/m}$$

$$\omega_{1,5971} = \log\left(\frac{4 \cdot 0,6011 \cdot 1,50^{1,9916} \cdot f^2}{9,8}\right) \Rightarrow$$

$$\Rightarrow \omega_{1,5971} = \log(0,5501 \cdot f^2) \Rightarrow f = 26,81 \text{ Hz}$$

Utilizando o valor da frequência calculado ($f = 26,81 \text{ Hz}$) é possível encontrar os valores de μ_2 e μ_3 graficamente. Para isso utiliza-se os gráficos a-2 e a-3 e os coeficientes lineares:

$$\mu_2: 2,2789 = \log\left(\frac{4\mu_2 \cdot 1,50^{2,2874} \cdot 26,81^2}{9,8}\right) \Rightarrow$$

$$\Rightarrow \mu_2 = 0,3226 \text{ g/m}$$

$$\mu_3: 2,1191 = \log\left(\frac{4\mu_3 \cdot 1,80^{2,5520} \cdot 26,81^2}{9,8}\right) \Rightarrow \mu_3 = 0,1593 \text{ g/m}$$

Comparando os valores μ_2 e μ_3 encontrados à frequência de 30 Hz utilizada no procedimento experimental, que está com os dados em anexo, os valores calculados estão próximos, com uma pequena taxa de erro esperada para uma atividade prática, devida à propagação de erro.

Conclusão

No experimento, foi possível observar na prática o movimento oscilatório de uma onda, conclui-nos pelos dados que quanto menor a massa, menor a força aplicada, e maior a quantidade de nós. Além disso, percebe-se a influência do comprimento do fio e as diferentes densidades.

massa de suspenso	incerteza da trena	incerteza da balança digital	incerteza da balança anal	frequência	
7g	$\pm 0,005\text{m}$	$\pm 1\text{g}$	$\pm 0,0001\text{g}$	30Hz	

Tabela 1

	m (g)	L (m)	w (g/m)
fio 1	1,1218	1,866	0,6011
fio 2	0,6605	1,845	0,3580
fio 3	0,4039	1,945	0,2076

Tabela 2

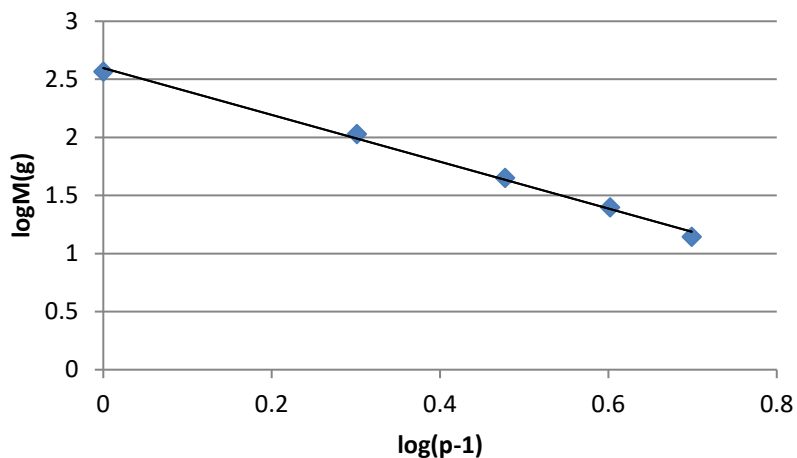
P	P - 1	m fio 1 (g)	m fio 2 (g)	m fio 3 (g)
2	1	369	218	130
3	2	107	64	34
4	3	45	30	13
5	4	25	15	8
6	5	14	8	5

Tabela 3

L(m)	m _{fio(1)}	m _{fio(2)}	m _{fio(3)}
1,50	207	64	34
1,25	70	36	18
1,00	38	27	12
0,75	23	12	5
0,50	12	5	2

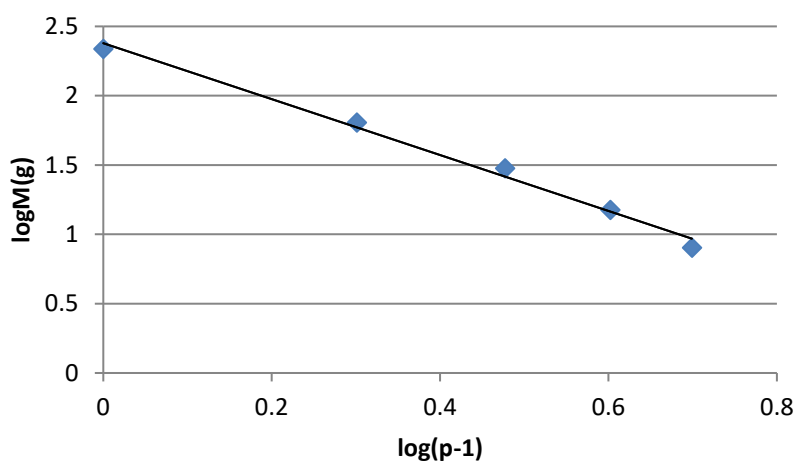
$$y = -2.0161x + 2.5971$$

Gráfico a - fio 1



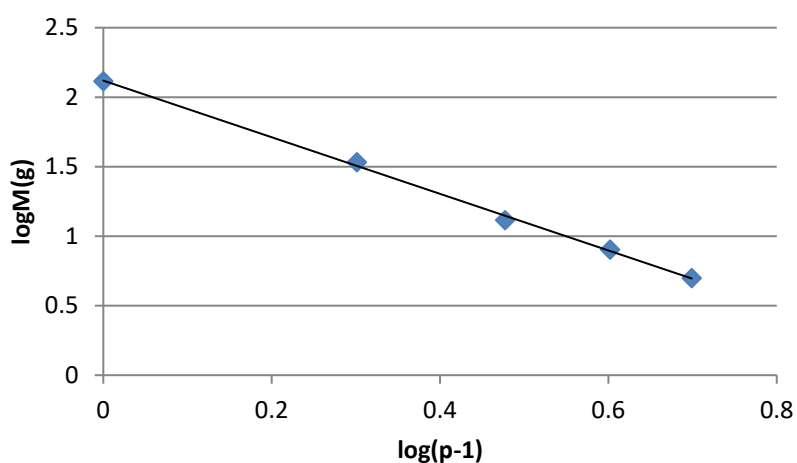
$$y = -2.0169x + 2.3789$$

Gráfico a - fio 2

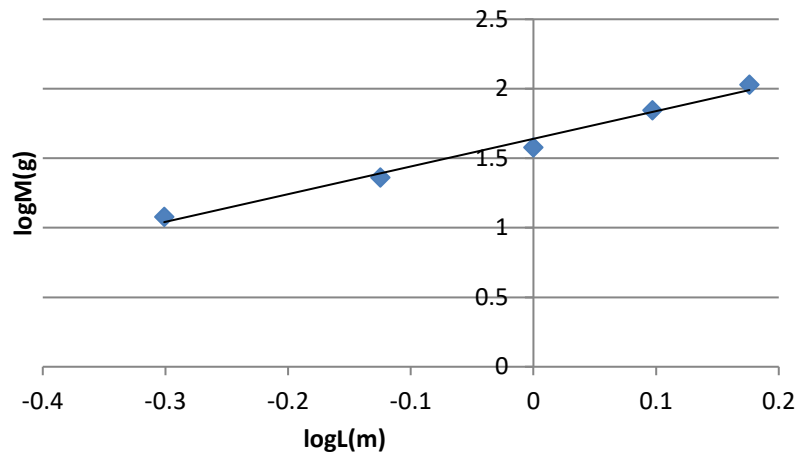


$$y = -2.0365x + 2.1191$$

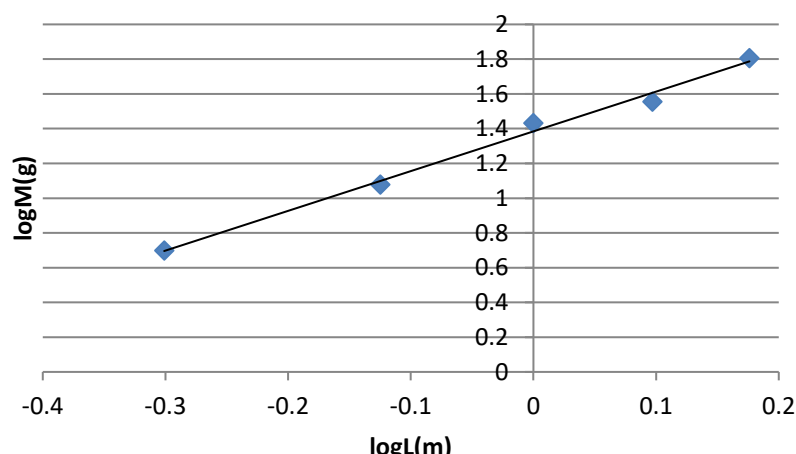
Gráfico a - fio 3



$$y = 1.9916x + 1.64$$

Gráfico b - fio 1

$$y = 2.2874x + 1.3844$$

Gráfico b - fio 2

$$y = 2.552x + 1.0513$$

Gráfico b - fio 3